

Amateurfunk

S21ZEE und S21ZED, Bangladesch: DX vom Golf von Bengalen



Typisch DXpeditionär: Soeben erst vom jüngsten Funkabenteuer zurückgekehrt, laufen bereits Planungen für das nächste Vorhaben. So erging es Yuris, YL2GM, der mit einer lettisch-ukrainischen Gruppe von Funkamateuren im März nach Bangladesch reiste. Unter den beiden Rufzeichen S21ZEE und S21ZED wurden von dort die Bänder belebt und Bandpunkte verteilt.

Foto: YL2GM 916

Alinco setzt auf DMR – das 70-cm-Handfunkgerät DJ-MD40



Der japanische Hersteller Alinco bietet mit dem DJ-MD40 ein Handfunkgerät an, das neben FM die digitale Sprechfunk-Sendart DMR beherrscht. Es handelt sich um ein Betriebsfunkgerät, das sich durch geeignete Programmierung für den Amateurfunk nutzbar machen lässt. Die daraus resultierenden Besonderheiten kommen in diesem Beitrag zur Sprache.

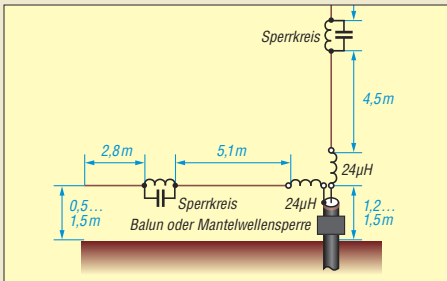
Foto: DG1NEJ 920

Vielseitiges Multicore-Kabel 923

DX-Verkehr im 2-m-Band mit Meteorscatter 928

Fernbedienung der Endstufe HLA-300-Plus beim Mobilbetrieb 953

Up & Outer als Mehrband-Vertikal für 80 m, 40 m und 20 m



Der Beitrag zeigt eine vorrangig für Portabelbetrieb ausgelegte Antenne, die auf einem Zweiband-Sperrkreisdipol für 20 m und 40 m basiert. Sie lässt sich platzsparend als vertikaler Winkeldipol installieren. Zusätzliche Spulen am Fußpunkt ermöglichen wahlweise den Betrieb auf dem 80-m-Band.

956

Neue Digi-Modes FT8 und T10 in der Praxis



Für eine effektive Nutzung digitaler Sendarten sind Informationen in Echtzeit unverzichtbar. Die „MUF E_s“-Darstellung von DX Maps unterstützte auch die Praxistests neuer Modi, welche in WSJT-X und JTDX implementiert wurden. Der Beitrag untersucht diese und gibt Hinweise auf ihren Einsatz auf Kurzwelle und im 6-m-Band.

Screenshot: DJ6JZ 960

40 Jahre QCWA German Chapter #106 989

CODXG IOTA-Expedition nach Palagruža EU-090 990

QRV auf 60 m aus Madeira 991

Projekttag mit Amateurfunk 993

Aktuell

Editorial 903

Postbox 906

Markt 908

Literatur 911

Von der IFA 2017:
Es gilt das gesprochene Wort 912



Ausbreitung Oktober 2017 982

Inserentenverzeichnis 998

Vorschau FA 11/17 998

QTCs

AATiS e.V. 978



IOTA-QTC 983

Digital-QTC 984

DX-QTC 986

QSL-Splitter 987

CW-QTC 987

Bergfunk-QTC; SWL-QTC 988

Sat-QTC 992

QRP-QTC 993

UKW-QTC 994

DL-QTC; Afu-Welt 996

OE-QTC; HB9-QTC 997

Termine Oktober 2017 998

QSL-Telegramm und QSL-Manager müssen in dieser Ausgabe leider entfallen, die Daten sind jedoch nach wie vor im Internet unter <http://qslroutes.funkamateure.de> zugänglich.

Typenblatt

DJ-MD40 951

Unser Titelbild



Heinz Stampfl, HB9KOC, hat für Radiobastler mit und ohne HF-Messplatz einen interessanten neuen Bausatzempfänger entwickelt und ihn Junior 1D getauft. Herausragendes Merkmal ist der durchgehende Frequenzbereich von 1,5 MHz bis 30 MHz. Der quarzstabile DDS-VFO lässt sich mit unterschiedlichen Schrittweiten abstimmen. Sowohl AM-Rundfunk- als auch SSB- und CW-Empfang sind möglich. Der Testbericht ab S. 931 beschreibt die gesammelten Erfahrungen beim Aufbau und Betrieb des Geräts.

Foto: Red. FA

BC-DX

Kurzwelle in Deutsch 980

BC-DX-Informationen 981



Radio Taiwan International bestätigt Sondersendungen derzeit mit einer solchen QSL-Karte. QSL: Li

Bauelemente

ULN2064/66, ULN2068/70,
ULN2074/76:

Vierfach-Darlington-Transistoren 949

Funk

RSP2 – der neue Breitbandempfänger von SDRPlay



Der Radio Spectrum Processor 2 ist die Weiterentwicklung des RSP1 von SDRPlay und wartet mit einigen Neuerungen auf. Ihre Auswirkungen auf die Leistungsparameter des Geräts sowie detaillierte und vergleichende Messungen sind Gegenstand des Beitrags.

Foto: DC4KU 924

Junior 1D – ein Bausatzempfänger für 1,5 MHz bis 30 MHz 931

Betrieb abgesetzter Ferritantennen mit Zweidrahtleitungen



Soll das mit einer Ferritantenne aufgenommene Signal über eine größere Entfernung übertragen werden, ist ein direkt angeschalteter Verstärker erforderlich. Alternativ sind im LF/VLF-Bereich Zweidrahtleitungen und Übertrager einsetzbar. Der Beitrag erörtert theoretische Grundlagen und zeigt aufbauende praktische Beispiele zum Anschluss von bis zu zwei Antennen an einen Empfängereingang.

Foto: DG9WF 934

CB- und Jedermannfunk 979

Elektronik

Siebensegment-LED-Anzeige mit großen Ziffern und Buchstaben 938

Impulsreflektometrie – der etwas andere Blick in die Leitung



Das Ausmessen selbst kurzer HF-Leitungsstücke auf Länge, Impedanz und Verkürzungsfaktor sowie das Auffinden von Defekten ist mithilfe der Impulsreflektometrie möglich. Der Beitrag zeigt darüber hinaus, dass dieses komfortable Messverfahren nur relativ geringen Aufwand erfordert.

Foto: DJ4GC 942

Roboterähnliche Sprachausgabe – nicht nur für Halloween



Damit eine Stimme bei der Wiedergabe eher nach Schlümpfen, Robotern oder Monstern klingt, ist kein allzu großer Aufwand erforderlich. Die hier vorgestellte Baugruppe gibt lediglich Sprachdateien, die im MP3-Format vorliegen müssen, durch einen Spezialschaltkreis verzerrt wieder.

Foto: Sander 946

Abwärts- und Aufwärtsschaltregler mit dem MC34063 958

Einsteiger

Pile-up für Einsteiger (2) 954

Vorschau auf Heft 11/17

erscheint am 25. 10. 2017

Macau, XX9D –

DXpedition zum Perfluss

Macau – bereits der Name dieser ehemaligen portugiesischen Kolonie vor den Toren Chinas versprach Exotik und Abenteuer. Dorthin reiste zu Jahresbeginn ein DXpeditionsteam aus Deutschland unter Führung von DL7VEE, um den DXern weltweit Funkkontakte mit diesem recht seltenen DXCC-Gebiet zu ermöglichen.

Foto: DL5CW



VDA-Antennen mit vier Elementen

Vertical Dipole Arrays (VDA) sind besonders bei DXpeditionen in Meeresnähe beliebt, da sie bei korrektem Aufbau und Standort eine besonders flache Abstrahlung sowie azimutale Richtwirkung besitzen. Der Beitrag verdeutlicht die technischen Aspekte der Vorbereitung und Durchführung von DXpeditionen.

Foto: Lagunaria DX Group

Kurzzeitstabilität von Oszillatoren

Die Einstufung von Oszillatoren erfolgt oft nach ihrem Phasenrauschen, was gleichbedeutend mit einer hohen Stabilität im Kurzzeitbereich ist. Der Beitrag erörtert Messverfahren zu deren Bestimmung und zeigt die Vorgehensweise an Beispielen.

Foto: DL2HWJ



... und außerdem:

- Mantelwellensperren selbst gebaut
- Auswirkungen von Fading bei Digimodes begegnen
- Rückschau auf die 62. UKW-Tagung in Weinheim
- Lowband-RX-Loop mit geringem Aufwand
- 80-m-CW-Transceiver auf Universalplatine

Redaktionsschluss FA 11/17: 5. 10. 2017
Vorankündigungen ohne Gewähr